

9921.-

Margas con ostreidos del Cenomaniense. Al N. de Cortes de Arenoso.



9922.-

Superficie perforada en el Cenomaniense. Al N. de Cortes de Arenoso.



9923.-

Costra de Fe sobre grainstones, en el Cenomaniense. A. N. de Cortes de Arenoso.



9924.-

Laminación ripples en el Cenomaniense. Al N. de Cortes de Arenoso.

20592



29-23-AD-TE-176.- Dolomías tableadas del Muschelkalk en el Trias al Norte del Collado del Vidre (T_{G3}).



29-23-AD-TE-177.- Al fondo, Vistabella del Maestrazgo sobre las dolomías marrones del Aptiense superior (C^{2-1}_{15-16}) que, a su vez descansan directamente sobre las calizas grises del Kimmeridgiense inferior (J_{24}-C_{12}). En primer término, arcillas con yesos y dolomías del Trias (T_{G22}-T_{G3}).



29-23-AD-TE-178.- N de Villahermosa del Rio. Aptiense superior (izquierda) (C^{2-1}_{15-16}) en contacto con las dolomías marrones del Muschelkalk (T_{G3}). Al fondo, la serie Hauteriviense-Barremiense - con depósitos en facies "weald" (C_{w13-14}).



29-23-AD-TE-179.- Trias en la carretera de Villahermosa del Rio (T_{G22}-T_{G3}).



29-23-AD-TE-180.- Norte del Collado del Vidre (Carretera de Vistabella). Calizas del Oxfordiense-Kimmeridgiense (J_{24}-C_{12}) apoyándose directamente sobre las dolomías marrones del Muschelkalk (T_{G22}-T_{G3}).



29-23-AD-TE-181.- Collado del Vidre. Detalle de la anterior fotografía. El escarpe superior corresponde a las calizas del Oxfordiense superior-Kimmeridgiense (J_{24}-C_{12}). El tramo blando, a la izquierda, a las arcillas y dolomías del Trias (T_{G22}-T_{G3}).



29-23-AD-TE-182.- Brecha calcárea en el contacto Triásico-Jurásico en el Collado del Vidre (J_{24}-C_{12}).



29-23-AD-TE-183.- Detalle de la foto anterior.



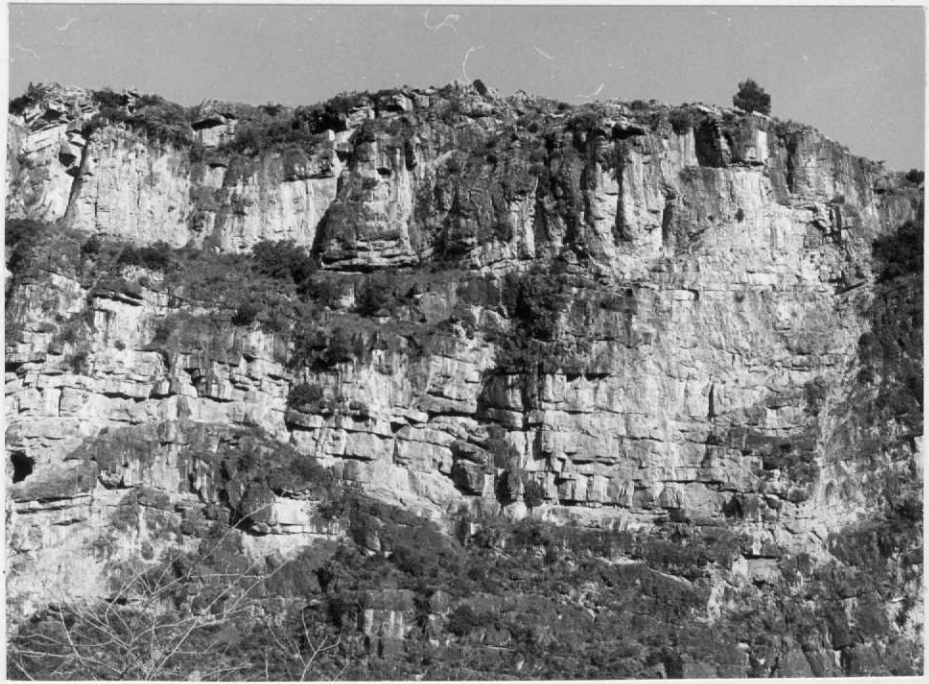
29-23-AD-TE-184.- Nódulos de sílex en las dolomías del Jurásico en la carretera que conduce a Vistabella del Maestrazgo (J_{24}-C_{12}).



29-23-AD-TE-185.- Dolomitización en las calizas oxfordiense-kimmeridgienses al N del Collado del Vidre. Carretera a Vistabella (J_{24}-C_{12}).



29-23-AD-TE-186.- Villahermosa del Rio sobre las dolomías del Muschelkalk (T_{G3}). Al fondo, escarpe de Jurásico superior (J_{24}-C_{12}) sobre arcillas y dolomías triásicas (T_{G22}-T_{G3}).



29-23-AD-TE-187.- Calizas negras del Kimmeridgiense en el valle del Rio Lucena (J_{24}-C_{12}).



29-23-AD-TE-188.- Calizas grises del Kimmeridgiense en la carretera que conduce a Vistabella del Maestrazgo (J_{24}-C_{12}).



29-23-AD-TE-189.- Zona triásica de Villahermosa del Rio (límite sur de la Hoja). A la izquierda las calizas aptienses (C^{2-1}_{15-16}). En el centro y derecha, calizas kimmeridgienses sobre arcillas y dolomías del Trias (T_{G22}-T_{G3}).



29-23-AD-TE-190.- Serie reducida del Cretácico inferior en el valle del Rio Lucena. El escarpe inferior calizo corresponde al Jurásico superior (J_{24}-C_{12}). En el centro, areniscas y calizas del Hauteriviense-Barremiense (C_{w13-14}). Sobre ellas, las calizas del Barremiense superior (C_{14}). Al fondo, la barra calcárea del Aptiense superior (C^{2-1}_{15-16}).



29-23-AD-TE-191.- La Venta (NO de Villahermosa). Contacto Jurásico-Cretácico, con un hard-ground bien desarrollado (J^{3}_{32}-C_{12}) y (C_{w13-14}).



29-23-AD-TE-192.- La Venta (NO de Villahermosa). Areniscas y arcillas del Hauteriviense-Barremiense basal (C_{w13-14}).



29-23-AD-TE-193.- Aptiense superior (rojizo) (C^{2-1}_{15-16}) en la vertiente Sur de Peñagolosa. Detrás, se observa una barra calcárea del Albiense superior-Cenomaniense (C^{3}_{16-21}).



29-23-AD-TE-194.- Al fondo, la serie del Cretácico inferior en la vertiente Sur de Peñagolosa. Su espesor en esta zona supera los 500 m. Foto tomada desde la pista de Villahermosa a Puertomingalvo.



29-23-AD-TE-195.- Serie del Cretácico inferior de Peñagolosa (detalle de la anterior). A la izquierda las calizas y margas del Aptiense (C^{2-1}_{15-16}), (C^{1}_{153}) y (C^{1}_{151}). El cejo calizo del centro corresponde al Barremiense superior (C_{14}). Debajo, el tramo de areniscas superiores (C^{s}_{w13-14}). El siguiente escarpe corresponde al tramo intermedio calcáreo del Hauteriviense-Barremiense (C^{c}_{w13-14}) y por último, a la derecha, las areniscas y arcillas del tramo inferior (C^{a}_{w13-14}).



29-23-AD-TE-196.- Barremiense superior calizo (C_{14}), junto al Caserío del Villar Alto (4 km al N de Villahermosa).



29-23-AD-TE-197.- Abajo, Beduliense basal calco-arenoso (Cm^{1}_{151}). Inmediatamente encima, las calizas grises con Orbitolinas - (Cc^{1}_{151}) del Beduliense. Valle del Rio Lucena.



29-23-AD-TE-198.- Chodos. En primer término, pequeño escarpe de las calizas de Orbitolinas bedulienses (C^{1}_{151}). La zona deprimida corresponde a las Margas con Plicátulas (C^{1}_{153}). En el mismo pueblo, escarpe de calizas con Toucasias del Gargasiense (C^{2-1}_{15-16}). Al fondo, plataforma caliza del Albiense superior-Cenomaniense (C^{3}_{16-21}).



29-23-AD-TE-199.- Masia Plano de Valero (límite O de la Hoja). Serie del Aptiense. El Bedouliense aparece en parte dolomitizado (derecha) y reducido de espesor (C^{1}_{151}). El Gargasiense bien desarrollado (C^{2-1}_{15-16}).



29-23-AD-TE-200.- Calizas rojizas, ferruginosas, con estratificación cruzada del Aptiense superior. Carretera de Puertomingalvo a Mosqueruela (C_{15-16}^{2-1}).



29-23-AD-TE-201.- Barremiense superior (C_{14}) (Barra calcárea inferior). Aptiense de Peñagolosa (C^{2-1}_{15-16}) (Escarpe superior).



29-23-AD-TE-202.- Detalle de la foto anterior. La barra calcárea inferior corresponde a las calizas del Barremiense superior (C_{14}).



29-23-AD-TE-203.- En primer término, calizas portlandienses (J_{24}-C_{12}). Encima el Aptiense dolomitizado (C^{2-1}_{15-16}), directamente sobre el Jurásico. Al fondo, aparecen de nuevo las calizas portlandienses por falla. Foto a unos 2 km al N de Vistabella del Maestrazgo.



29-23-AD-TE-204.- Albiense superior-Cenomaniense (C^3_{16-21}) de Cabezo Blanco (ángulo SO de la Hoja).



29-23-AD-TE-205.- Albiense superior-Cenomaniense (C^{3}_{16-21}). Carretera de Adzaneta a Chodos.